

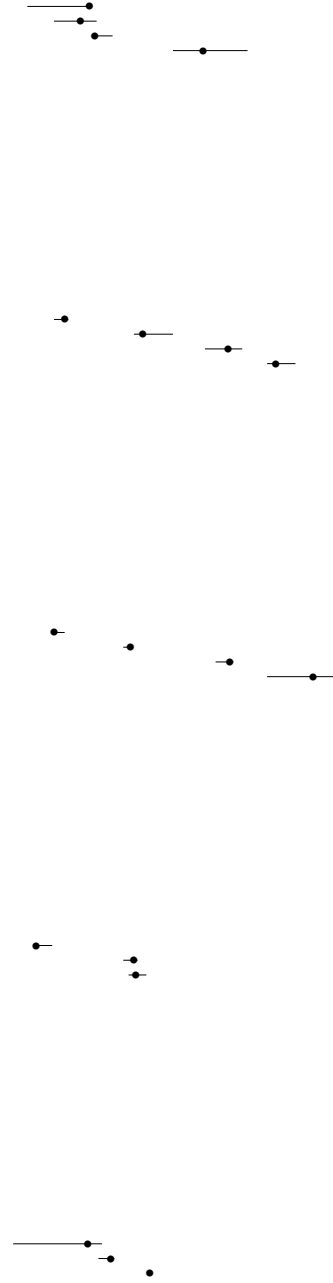
Rank	Using	Med.	IQR
ant-1.3			
1	default_KNN_50	0	0
1	default_DTC_50	0	0
1	default_SVM_50	0	0
2	grid_KNN_50	0	0
2	random_DTC_50	0	0
3	grid_DTC_50	0	0
4	random_SVM_50	0	0
4	random_KNN_50	0	0
4	de_DTC_50	0	0
5	grid_SVM_50	0	0
6	de_KNN_50	0	0
7	de_SVM_50	0	0
8	default_RF_50	0	0
9	grid_RF_50	22	0
10	random_RF_50	30	0
11	de_RF_50	68	0
12	smac_DTC_50	167	8
12	smac_RF_50	227	14
12	smac_KNN_50	241	45
12	smac_SVM_50	411	204
ant-1.4			
1	default_KNN_50	0	0
1	default_DTC_50	0	0
2	default_SVM_50	0	0
3	random_DTC_50	0	0
3	grid_KNN_50	0	0
4	random_KNN_50	0	0
4	grid_DTC_50	0	0
5	random_SVM_50	0	0
5	de_DTC_50	0	0
6	default_RF_50	0	0
6	grid_SVM_50	0	0
6	de_KNN_50	0	0
6	de_SVM_50	0	0
7	random_RF_50	39	0
8	grid_RF_50	51	0
9	de_RF_50	92	0
10	smac_DTC_50	175	20
11	smac_RF_50	216	19
12	smac_KNN_50	244	18
13	smac_SVM_50	598	1202
ant-1.5			
1	default_SVM_50	0	0
1	default_KNN_50	0	0
1	default_DTC_50	0	0
2	grid_KNN_50	0	0
3	random_DTC_50	0	0
4	de_DTC_50	0	0
4	grid_DTC_50	0	0
5	random_KNN_50	0	0
6	default_RF_50	0	0
6	de_KNN_50	0	0
6	random_SVM_50	0	0
7	grid_SVM_50	0	0
8	de_SVM_50	0	0
9	random_RF_50	39	0
10	grid_RF_50	52	0
11	de_RF_50	94	0
12	smac_DTC_50	163	7
13	smac_RF_50	216	34
13	smac_KNN_50	253	5
14	smac_SVM_50	566	106
ant-1.6			
1	default_SVM_50	0	0
2	default_KNN_50	0	0
3	default_DTC_50	0	0
4	grid_KNN_50	0	0
5	de_DTC_50	0	0
5	grid_DTC_50	0	0
6	random_DTC_50	0	0
6	random_KNN_50	0	0
6	default_RF_50	0	0
7	de_KNN_50	0	0
8	random_SVM_50	0	0
9	de_SVM_50	0	0
10	grid_SVM_50	0	0
11	grid_RF_50	27	0
12	random_RF_50	30	0
13	de_RF_50	65	0
14	smac_DTC_50	166	11
15	smac_RF_50	212	8
15	smac_KNN_50	232	26
16	smac_SVM_50	401	290
lucene-2.0			
1	default_SVM_50	0	0
1	default_KNN_50	0	0
1	default_DTC_50	0	0
2	grid_KNN_50	0	0
3	random_DTC_50	0	0
4	de_DTC_50	0	0
5	grid_DTC_50	0	0
5	random_KNN_50	0	0
6	de_KNN_50	0	0
7	random_SVM_50	0	0
8	de_SVM_50	0	0
9	grid_SVM_50	0	0
10	default_RF_50	0	0
11	random_RF_50	43	0
12	grid_RF_50	51	0
13	de_RF_50	71	0
14	smac_KNN_50	209	31
14	smac_DTC_50	219	23
15	smac_RF_50	239	9
16	smac_SVM_50	270	38

Rank	Using	Med.	IQR	
lucene-2.2				
1	default_SVM_50	0	0	•
1	default_KNN_50	0	0	•
1	default_DTC_50	0	0	•
2	random_DTC_50	0	0	•
2	grid_KNN_50	0	0	•
3	random_KNN_50	0	0	•
4	grid_DTC_50	0	0	•
5	de_DTC_50	0	0	•
5	default_RF_50	0	0	•
6	de_KNN_50	0	0	•
7	random_SVM_50	0	0	•
8	grid_SVM_50	0	0	•
9	de_SVM_50	0	0	•
10	random_RF_50	38	0	•
11	grid_RF_50	50	0	•
12	de_RF_50	94	0	•
13	smac_DTC_50	215	1	•
13	smac_KNN_50	227	25	•
14	smac_RF_50	275	1	•
14	smac_SVM_50	317	54	•
synapse-1.0				
1	default_KNN_50	0	0	•
1	default_DTC_50	0	0	•
2	default_SVM_50	0	0	•
2	grid_KNN_50	0	0	•
2	random_DTC_50	0	0	•
3	random_KNN_50	0	0	•
3	random_SVM_50	0	0	•
4	de_DTC_50	0	0	•
5	grid_SVM_50	0	0	•
6	grid_DTC_50	0	0	•
7	de_KNN_50	0	0	•
8	de_SVM_50	0	0	•
8	default_RF_50	0	0	•
9	grid_RF_50	36	0	•
10	random_RF_50	42	0	•
11	de_RF_50	106	0	•
12	smac_SVM_50	163	27	•
12	smac_DTC_50	162	9	•
13	smac_RF_50	204	27	•
13	smac_KNN_50	218	10	•
synapse-1.1				
1	default_SVM_50	0	0	•
1	default_KNN_50	0	0	•
1	default_DTC_50	0	0	•
2	grid_KNN_50	0	0	•
2	random_DTC_50	0	0	•
3	grid_DTC_50	0	0	•
4	random_KNN_50	0	0	•
5	de_DTC_50	0	0	•
6	random_SVM_50	0	0	•
7	grid_SVM_50	0	0	•
7	default_RF_50	0	0	•
8	de_SVM_50	0	0	•
9	de_KNN_50	1	0	•
10	random_RF_50	33	0	•
11	grid_RF_50	34	0	•
12	de_RF_50	101	0	•
13	smac_DTC_50	168	13	•
13	smac_SVM_50	171	5	•
14	smac_RF_50	208	4	•
15	smac_KNN_50	235	22	•
jedit-3.2				
1	default_SVM_50	0	0	•
1	default_KNN_50	0	0	•
1	default_DTC_50	0	0	•
2	random_DTC_50	0	0	•
2	grid_KNN_50	0	0	•
3	random_KNN_50	0	0	•
4	grid_DTC_50	0	0	•
5	de_DTC_50	0	0	•
5	random_SVM_50	0	0	•
6	de_KNN_50	0	0	•
7	grid_SVM_50	0	0	•
8	de_SVM_50	0	0	•
9	default_RF_50	0	0	•
10	grid_RF_50	23	0	•
11	random_RF_50	28	0	•
12	de_RF_50	65	0	•
13	smac_DTC_50	164	16	•
14	smac_SVM_50	195	7	•
15	smac_KNN_50	219	17	•
16	smac_RF_50	250	11	•
jedit-4.0				
1	default_DTC_50	0	0	•
2	default_KNN_50	0	0	•
3	random_DTC_50	0	0	•
3	grid_KNN_50	0	0	•
4	random_KNN_50	0	0	•
5	grid_DTC_50	0	0	•
5	default_SVM_50	0	0	•
6	de_DTC_50	0	0	•
7	random_SVM_50	0	0	•
8	de_KNN_50	0	0	•
9	grid_SVM_50	0	0	•
10	default_RF_50	0	0	•
10	de_SVM_50	0	0	•
11	grid_RF_50	24	0	•
12	random_RF_50	28	0	•
13	de_RF_50	66	0	•
14	smac_DTC_50	169	9	•
14	smac_SVM_50	170	8	•
15	smac_KNN_50	224	29	•
16	smac_RF_50	256	9	•

Rank	Using	Med.	IQR	
jedit-4.1				
1	default_SVM_50	0	0	•
1	default_KNN_50	0	0	•
1	default_DTC_50	0	0	•
2	grid_KNN_50	0	0	•
3	random_DTC_50	0	0	•
4	random_KNN_50	0	0	•
5	grid_DTC_50	0	0	•
6	random_SVM_50	0	0	•
7	de_DTC_50	0	0	•
8	de_KNN_50	0	0	•
9	default_RF_50	0	0	•
9	grid_SVM_50	0	0	•
10	de_SVM_50	0	0	•
11	random_RF_50	33	0	•
12	grid_RF_50	45	0	•
13	de_RF_50	103	0	•
14	smac_DTC_50	169	30	•
14	smac_SVM_50	180	11	•
15	smac_KNN_50	213	2	•
16	smac_RF_50	253	18	•
jedit-4.2				
1	default_SVM_50	0	0	•
1	default_KNN_50	0	0	•
1	default_DTC_50	0	0	•
2	random_DTC_50	0	0	•
3	random_KNN_50	0	0	•
4	de_DTC_50	0	0	•
5	grid_DTC_50	0	0	•
6	random_SVM_50	0	0	•
6	default_RF_50	0	0	•
7	de_KNN_50	0	0	•
8	grid_KNN_50	0	0	•
9	grid_SVM_50	0	0	•
10	de_SVM_50	0	0	•
11	random_RF_50	39	0	•
12	grid_RF_50	60	0	•
13	de_RF_50	82	0	•
14	smac_DTC_50	162	12	•
14	smac_SVM_50	166	1	•
15	smac_KNN_50	228	23	•
16	smac_RF_50	254	11	•
xerces-1.1				
1	default_KNN_50	0	0	•
1	default_DTC_50	0	0	•
1	default_SVM_50	0	0	•
2	random_DTC_50	0	0	•
2	grid_KNN_50	0	0	•
3	random_KNN_50	0	0	•
4	grid_DTC_50	0	0	•
5	de_DTC_50	0	0	•
5	random_SVM_50	0	0	•
6	de_KNN_50	0	0	•
7	grid_SVM_50	0	0	•
8	de_SVM_50	0	0	•
9	default_RF_50	0	0	•
10	grid_RF_50	22	0	•
11	random_RF_50	27	0	•
12	de_RF_50	65	0	•
13	smac_DTC_50	210	16	•
13	smac_SVM_50	215	11	•
13	smac_RF_50	213	30	•
14	smac_KNN_50	245	20	•
xerces-1.2				
1	default_SVM_50	0	0	•
1	default_KNN_50	0	0	•
1	default_DTC_50	0	0	•
2	grid_KNN_50	0	0	•
3	random_DTC_50	0	0	•
4	random_KNN_50	0	0	•
5	grid_DTC_50	0	0	•
6	de_DTC_50	0	0	•
7	de_KNN_50	0	0	•
8	default_RF_50	0	0	•
9	random_SVM_50	0	0	•
10	de_SVM_50	1	0	•
11	grid_SVM_50	1	0	•
12	random_RF_50	46	0	•
13	grid_RF_50	58	0	•
14	de_RF_50	81	0	•
15	smac_SVM_50	190	21	•
15	smac_DTC_50	211	15	•
15	smac_RF_50	212	18	•
16	smac_KNN_50	233	23	•
xerces-1.3				
1	default_SVM_50	0	0	•
1	default_KNN_50	0	0	•
1	default_DTC_50	0	0	•
2	random_DTC_50	0	0	•
3	grid_KNN_50	0	0	•
4	random_KNN_50	0	0	•
5	grid_DTC_50	0	0	•
6	de_DTC_50	0	0	•
7	de_KNN_50	0	0	•
8	random_SVM_50	0	0	•
9	default_RF_50	0	0	•
10	grid_SVM_50	0	0	•
11	de_SVM_50	0	0	•
12	grid_RF_50	25	0	•
13	random_RF_50	27	0	•
14	de_RF_50	66	0	•
15	smac_DTC_50	194	12	•
15	smac_SVM_50	199	18	•
15	smac_RF_50	209	13	•
16	smac_KNN_50	229	17	•

Rank	Using	Med.	IQR	
poi-1.5				
1	default_KNN_50	0	0	•
1	default_SVM_50	0	0	•
1	default_DTC_50	0	0	•
2	random_DTC_50	0	0	•
2	grid_KNN_50	0	0	•
3	random_KNN_50	0	0	•
4	grid_DTC_50	0	0	•
4	de_DTC_50	0	0	•
5	de_KNN_50	0	0	•
6	grid_SVM_50	0	0	•
7	de_SVM_50	0	0	•
7	default_RF_50	0	0	•
8	random_SVM_50	1	0	•
9	random_RF_50	44	0	•
10	grid_RF_50	53	0	•
11	de_RF_50	70	0	•
12	smac_DTC_50	171	2	•
13	smac_KNN_50	232	19	•
14	smac_RF_50	272	2	•
poi-2.0				
1	default_SVM_50	0	0	•
1	default_KNN_50	0	0	•
1	default_DTC_50	0	0	•
2	random_DTC_50	0	0	•
3	random_KNN_50	0	0	•
4	de_DTC_50	0	0	•
5	de_KNN_50	0	0	•
6	random_SVM_50	0	0	•
7	de_SVM_50	0	0	•
8	default_RF_50	0	0	•
9	grid_RF_50	26	0	•
10	random_RF_50	33	0	•
11	de_RF_50	65	0	•
12	smac_DTC_50	169	17	•
13	smac_KNN_50	223	24	•
14	smac_RF_50	248	23	•
poi-2.5				
1	default_SVM_50	0	0	•
2	default_KNN_50	0	0	•
2	default_DTC_50	0	0	•
3	grid_KNN_50	0	0	•
3	random_DTC_50	0	0	•
3	de_DTC_50	0	0	•
4	random_KNN_50	0	0	•
5	grid_DTC_50	0	0	•
6	de_KNN_50	0	0	•
7	random_SVM_50	0	0	•
7	default_RF_50	0	0	•
8	de_SVM_50	0	0	•
9	grid_SVM_50	0	0	•
10	random_RF_50	43	0	•
11	grid_RF_50	58	0	•
12	de_RF_50	63	0	•
13	smac_DTC_50	198	12	•
14	smac_KNN_50	239	23	•
15	smac_RF_50	302	16	•
velocity-1.4				
1	default_SVM_50	0	0	•
1	default_KNN_50	0	0	•
1	default_DTC_50	0	0	•
2	random_DTC_50	0	0	•
3	grid_KNN_50	0	0	•
3	de_DTC_50	0	0	•
4	random_KNN_50	0	0	•
5	de_KNN_50	0	0	•
5	grid_DTC_50	0	0	•
6	random_SVM_50	0	0	•
7	de_SVM_50	0	0	•
8	grid_SVM_50	0	0	•
9	default_RF_50	0	0	•
10	random_RF_50	42	0	•
11	grid_RF_50	55	0	•
12	de_RF_50	63	0	•
13	smac_SVM_50	174	12	•
13	smac_DTC_50	188	7	•
14	smac_KNN_50	228	7	•
15	smac_RF_50	275	18	•
velocity-1.5				
1	default_SVM_50	0	0	•
1	default_KNN_50	0	0	•
1	default_DTC_50	0	0	•
2	random_DTC_50	0	0	•
3	random_KNN_50	0	0	•
4	de_DTC_50	0	0	•
4	random_SVM_50	0	0	•
5	de_KNN_50	0	0	•
6	de_SVM_50	0	0	•
7	default_RF_50	0	0	•
8	grid_RF_50	26	0	•
9	random_RF_50	27	0	•
10	de_RF_50	65	0	•
11	smac_DTC_50	182	3	•
11	smac_SVM_50	188	4	•
12	smac_KNN_50	227	7	•
13	smac_RF_50	277	8	•

Rank	Using	Med.	IQR
camel-1.0			
1	camel-1.0		
1	random_DTC_50	0	0
2	grid_KNN_50	0	0
2	default_DTC_50	0	0
3	grid_DTC_50	0	0
3	default_KNN_50	0	0
3	random_KNN_50	0	0
4	de_DTC_50	0	0
5	default_SVM_50	0	0
6	random_SVM_50	0	0
7	de_KNN_50	0	0
8	grid_SVM_50	0	0
9	de_SVM_50	0	0
10	default_RF_50	0	0
11	random_RF_50	27	0
12	grid_RF_50	30	0
13	de_RF_50	64	0
14	smac_DTC_50	206	34
14	smac_SVM_50	201	24
15	smac_KNN_50	209	11
16	smac_RF_50	270	42
camel-1.2			
1	default_DTC_50	0	0
2	default_KNN_50	0	0
3	grid_KNN_50	0	0
4	de_DTC_50	0	0
5	random_KNN_50	0	0
6	default_RF_50	0	0
6	grid_DTC_50	0	0
7	default_SVM_50	0	0
8	random_DTC_50	0	0
9	de_KNN_50	0	0
10	de_SVM_50	1	0
11	random_SVM_50	1	0
12	grid_SVM_50	2	0
13	grid_RF_50	45	0
14	random_RF_50	46	0
15	de_RF_50	62	0
16	smac_DTC_50	192	8
17	smac_KNN_50	236	22
18	smac_RF_50	284	21
18	smac_SVM_50	311	16
camel-1.4			
1	default_SVM_50	0	0
2	default_KNN_50	0	0
3	default_DTC_50	0	0
4	random_DTC_50	0	0
5	grid_KNN_50	0	0
6	de_DTC_50	0	0
7	random_KNN_50	0	0
7	default_RF_50	0	0
8	de_KNN_50	0	0
8	grid_DTC_50	0	0
9	de_SVM_50	2	0
10	random_SVM_50	2	0
11	grid_SVM_50	3	0
12	random_RF_50	48	0
13	grid_RF_50	55	0
14	de_RF_50	62	0
15	smac_DTC_50	186	6
16	smac_KNN_50	229	5
17	smac_RF_50	285	10
17	smac_SVM_50	332	39
ivy-1.1			
1	default_SVM_50	0	0
1	default_KNN_50	0	0
1	default_DTC_50	0	0
2	grid_KNN_50	0	0
2	de_DTC_50	0	0
3	random_DTC_50	0	0
4	grid_DTC_50	0	0
5	de_KNN_50	0	0
5	random_KNN_50	0	0
5	random_SVM_50	0	0
6	de_SVM_50	0	0
7	grid_SVM_50	0	0
8	default_RF_50	0	0
9	random_RF_50	34	0
10	grid_RF_50	37	0
11	de_RF_50	63	0
12	smac_DTC_50	176	10
13	smac_KNN_50	231	8
13	smac_RF_50	232	10
ivy-1.4			
1	default_KNN_50	0	0
1	default_SVM_50	0	0
1	default_DTC_50	0	0
2	grid_KNN_50	0	0
3	random_DTC_50	0	0
3	de_DTC_50	0	0
4	grid_DTC_50	0	0
5	random_KNN_50	0	0
6	de_KNN_50	0	0
7	random_SVM_50	0	0
8	de_SVM_50	0	0
9	grid_SVM_50	0	0
10	default_RF_50	0	0
11	grid_RF_50	29	0
12	random_RF_50	34	0
13	de_RF_50	63	0
14	smac_DTC_50	205	50
14	smac_KNN_50	218	9
14	smac_RF_50	240	1



Rank	Using	Med.	IQR	
log4j-1.0				
1	default_KNN_50	0	0	•
1	default_DTC_50	0	0	•
1	default_SVM_50	0	0	•
2	grid_KNN_50	0	0	•
3	random_DTC_50	0	0	•
3	de_DTC_50	0	0	•
3	grid_DTC_50	0	0	•
4	random_SVM_50	0	0	•
4	random_KNN_50	0	0	•
4	de_KNN_50	0	0	•
4	de_SVM_50	0	0	•
5	grid_SVM_50	0	0	•
6	default_RF_50	0	0	•
7	grid_RF_50	29	0	•
8	random_RF_50	35	0	•
9	de_RF_50	63	0	•
10	smac_SVM_50	165	1	•
11	smac_DTC_50	190	8	•
12	smac_RF_50	205	6	•
13	smac_KNN_50	228	19	•
log4j-1.1				
1	default_KNN_50	0	0	•
1	default_SVM_50	0	0	•
1	default_DTC_50	0	0	•
2	grid_KNN_50	0	0	•
3	grid_DTC_50	0	0	•
3	de_DTC_50	0	0	•
3	random_DTC_50	0	0	•
4	grid_SVM_50	0	0	•
4	random_SVM_50	0	0	•
4	random_KNN_50	0	0	•
4	de_SVM_50	0	0	•
4	de_KNN_50	0	0	•
5	default_RF_50	0	0	•
6	grid_RF_50	24	0	•
7	random_RF_50	35	0	•
8	de_RF_50	65	0	•
9	smac_SVM_50	167	10	•
9	smac_DTC_50	179	13	•
10	smac_RF_50	209	6	•
10	smac_KNN_50	208	9	•